

敦賀原発一般排水路の放射能測定

°小出裕章・今中哲二・海老沢徹・川野真治・小林圭二・
瀬尾 健(京大炉), 久米三四郎(阪大理)

京都大学原子炉実験所
第16回学術講演会
講演要旨集 別刷

昭和57年 3月19日

°小出裕章・今中哲二・海老沢徹・川野真治・小林圭二・瀬尾健(京大炉), 久米三四郎(阪大理)

I. はじめに——公表された事故経過

1981年4月8日、福井県衛生研究所が定期的環境モニタリングのため採取した日本原子力発電(株)敦賀原子力発電所(沸騰水型、定格出力37.5万W_e)サイト東南約700mの浦底湾内ホンダワラから、⁶⁰Co 0.49 pCi/g生、⁵⁴Mn 0.15 pCi/g生が検出された。この量は過去1~2年間平均値の10倍以上に相当する。統計で行なわれた日本原子力発電(株)(以下原電)による調査で、サイトからの一般排水路出口棚の堆積土砂より⁶⁰Co 61 pCi/g、⁵⁴Mn 10 pCi/g、一般排水路マンホール内堆積土砂より⁶⁰Co最高 9941 pCi/g、⁵⁴Mn最高 1458 pCi/gが検出され、本来非放射性廃水用である一般排水路が汚染されていることがわかった。原電からの報告を受けた通産省は、4月18日未明、記者会見を行ない、湾内汚染の事実を公表した。翌日より通産省の立入検査および事情聴取が行なわれた。その結果、一般排水路が放射性廃棄物処理旧建屋の下を通りマンホールの縁が同建屋内にあること、その間で一般排水路に放射性廃水が混入し、浦底湾に流出したことが判明した。放射性廃液が一般排水路へ漏洩した経緯は、5月18日付通産省の「最終報告書」¹⁾によれば、およそ次のようになっている。

1981年3月7日20時頃、原子炉冷却材浄化系フィルター・スラッジの貯蔵タンクへの移送が行なわれた。移送終了後、配管を洗浄するため通水されたが、作業者(運転当直班員2名)は弁を開け忘れたまま次班と交替してしまった。洗浄水はフィルター・スラッジ貯蔵タンクをオーバーフローし、それを受ける二つのドレンタンクをいずれも溢れさせた。さらにスラッジを含む廃水は床上にこぼれ落ち、床サンプルもオーバーフローした。この間、サンプル水位高高による警報が鳴り、サンプルポンプが自動的に起動したと思われる。だが、確認ボタンを押し警報停止した人もわからなければ、警報停止した人も居ない。廃水は、フィルター・スラッジ貯蔵タンク室から、隔壁を貫通している配管を通じて隣の洗濯廃液ろ過装置室へ流れ込み、さらに、同室の出入口しきいを越えて建屋の廊下を水びたしにした。その面積は約230m²に達した(図1)。この間2回の巡回検査があったが、巡回項目にはいっているフィルター・スラッジ貯蔵タンク水位の変化に、巡回員はいずれも気が付いていない。ようやく3回目の巡回(3月8日午前11時頃)で廊下が水びたしになっていたことを発見し、洗浄水用の弁は閉じられ、廃液流出は停止した。廊

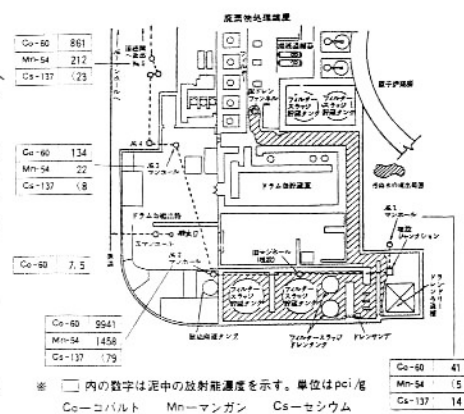


図1 原電—通産省のストーリーによる汚水流出台範囲
および一般排水路の汚染

下等に溢れた廢水は取り取りでなくって回収し、そのあとラエスで拭取り、簡易除染を終了した。一方、この時の廢水が一般排水路に漏洩した経路を調べたため、洗濯廢液ろ過装置室に着色した水を張り漏洩試験をした結果、漏洩が確認された。オーバーフローした廢水量は、原電職員に対する事情聴取等から $14.5 \sim 15 m^3$ と推定され、このうち回収量の推定値 $14 m^3$ を差引くと、約 $1 m^3$ が環境中へ漏れた。その放射能量は 10 数 mCi から数 $10 mCi$ と推定される。以上が「最終報告書」のあらましである。

この報告書では、多くの疑問点が未解決のまま残されている。たとえば、なぜ2回も巡回検しながらタンク水位の変化に気付かなかったか、サンプル水位警報を停止した人やポンプ起動に気付いた人が本当に居なかつたのか、などである。漏洩経路についても、事故現場であるフィルター・スラッジ貯蔵タンク室は、高線量のため立入ることはできず、調査されていない。従つて、別の経路が無かつたとは言い切れない。環境への漏洩量も、「最終報告書」自身が認めるように、原電職員の記憶があいまいなため、確かなものではない。このように「最終報告書」は、今回の環境汚染をもたらした原因とその経路を特定するには、根柢の乏しいものと言える。

ところで、今回の事故は地元住民に、原電、国の安全審査体制および通産省の検査体制に対する不信感を増加させた。地元住民組織である「原発に反対する福井県民会議」は、4月25日現地調査を実施し、筆者らも参加した。事情聴取の他、種々の資料閲覧を申入れたが、資料の大部分は拒否された。しかし、提示された資料中からも幾つか疑問点が見出されている。たとえば、オーバーフロー時刻をさる3月7日晚および8日朝の実検記録では、今回の事故に関係したと言われる三つのタンクの水位に変化が無い。原電は、この三項目のみ“誤記だ”と説明するが、不自然の感を否められない。筆者らはさらに、汚染の実態と原因調査のため、問題の一般排水路に開口する8個所のマンホールと、それとは別系統の一般排水路にあるマンホール2個所から堆積土砂を採取した。その目的は、通産省発表のマンホール別放射能濃度測定結果において、① No.3 マンホールの値が異常に低く、そこを谷間にして上流から下流へ2つの山を形成している事実を確かめること、② N0.4、6および8マンホールのデータが無いため、それらの測定を行なうこと、③ 放射性セシラムについての報告が無いため、それについて調べることである。だが、土砂の持出しは拒否された。調査団と原電との度重なる交渉と早余曲折を経た後、原電内で、同社の測定器等を使用して、採取した土砂の放射能測定を実施することになった。8月31日～9月4日にオ1回の、10月12日～16日にオ2回の測定が現地で行なわれた。以下、測定の概要と結果を紹介し、これまで触れられて來なかった新たな問題点を報告する。

II. サンプリングおよび測定

試料とレ:
1981年4月25日、原電敦賀発電所構内の旧廃棄物処理建屋周辺のマンホール No.1～No.8、MH-X、MH-1 の計10箇所から水と土砂との混合物約 $500 ml$ を採取した。各マンホールにおける土砂の堆積状況が非常に悪いため採取土砂の量もばらつきが生じた。各マンホールの位置は図2に示す通りで、汚染事故の生じた一般排水路に沿って上流から

順に No.1～No.8 と呼ばれる。MH-X は雨水排出用水路が廃棄物建屋増設のため建屋内に取り込まれたもので、MH-1 は旧廃棄物処理建屋とは異なる系統にある。

II-1. 試料の処理

試料の水切りを行った後、土砂の乾燥、乾燥試料のふるい分け（粒子径 250 μm で分け）を行い、各々に、 γ 放射能 (γ 線スペクトル, β 線スペクトル) の測定をした。

更に土砂中のセシウムを核種ごとに定量するため、化学分離を行った。図 3 に試料処理の概要を示す。データ取り扱いの便宜上各々 T1～T7, B1, B2 の名前を付した。なお、ふるい分け後の試料が 50 g に満たぬもの (No.2, No.5 の 250 μm 以下, No.5 の 250 μm 以上) については、乾燥試料の β 線スペクトル測定用試料が確保できなかつたため、この測定を省略し、全量をセシウム分離に供した。

II-2. セシウムの化学分離

セシウムの化学分離は科学技術庁の分析マニアルを参考にして行った。手順の概要を図 4 に示す。第 1 回目の測定ではセシウムの収率が悪かつたため、第 2 回目では、カドミウム抽出、水酸化物、炭酸塩の沈殿生成、遠心分離の手順を省略し、その代り塩酸抽出を愈入りに行つた。更に残渣の塩酸によく再抽出をした後、直接リノモリブデン酸アンモニウムによりセシウムを分離した。

II-3. β 線スペクトル測定用試料

ストロンチウムの存在を調べるために、予備的に土砂そのものを測定した。更にいくつかの試料について、炭酸塩沈殿 (No.2, No.6 の細砂), 炭酸塩沈殿 (No.1, No.3 の粗砂) をとり、 β 線スペクトル測定用試料とした。

II-4. 計測方法

γ 線スペクトル測定には遮蔽付環境試料測定用 Ge 半導体検出器 2 台を用いた。 β 線スペクトル測定には紙パックケランドベータ測定器 (ピュベータ計) を用いた。 β 線スペクトルの測定では、 $60 \text{ mm} \times 95 \text{ mm}$ あるいは $90 \text{ mm} \times 60 \text{ mm}$ のプラスチック容器に試料を封入したものと、 β 線スペクトル測定では、 $50 \text{ mm} \times 5 \text{ mm}$ のステンレス容器に均等に入れた試料をライハン紙でカバーしたものと測定試料とした。

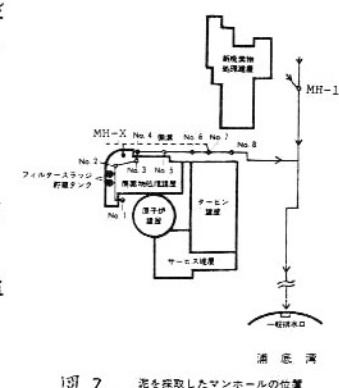
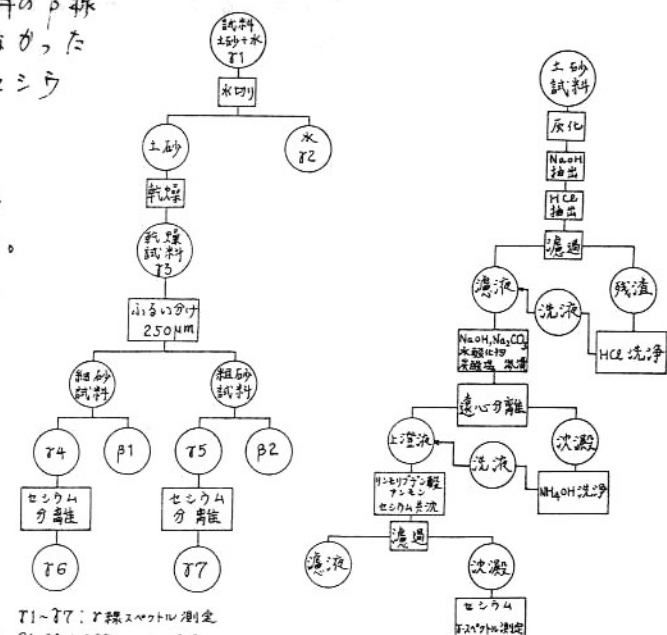


図 2

泥を採取したマンホールの位置



T1～T7: γ 線スペクトル測定

B1, B2: β 線スペクトル測定

図 3 試料処理および測定の手順

図 4 セシウム化学分離の手順

Ⅲ. 結果と考察

Ⅲ-1. 測定結果

一連のγ線測定(71~74)

より、 ^{60}Co 、 ^{54}Mn 、 ^{137}Cs 及び ^{134}Cs が全てのマンホール試料で検出された。表1は各マンホールの放射能濃度を、3月14日付の乾燥土砂(A3)に従ってまとめてある。表のうち、23測定では検出限界以下である、たる種につき

	^{60}Co	^{54}Mn	^{137}Cs	^{134}Cs
No. 1	$1.2 \times 10^2 \pm 6.8 \times 10^{-1}$	$1.3 \times 10^1 \pm 5.1 \times 10^{-1}$	$1.5 \times 10^1 \pm 3.5 \times 10^{-1}$	$6.3 \times 10^{-1} \pm 4.8 \times 10^{-2}$
No. 2	$3.7 \times 10^4 \pm 6.6 \times 10^1$	$5.1 \times 10^3 \pm 5.3 \times 10^1$	$1.5 \times 10^2 \pm 2.3 \times 10^1$	$1.3 \times 10^1 \pm 1.6 \times 10^0$
No. 3	$3.9 \times 10^2 \pm 1.7 \times 10^0$	$6.8 \times 10^1 \pm 1.3 \times 10^0$	$5.4 \times 10^0 \pm 6.4 \times 10^{-1}$	$3.5 \times 10^{-1} \pm 6.1 \times 10^{-2}$
No. 4	$2.6 \times 10^2 \pm 1.1 \times 10^0$	$4.7 \times 10^1 \pm 8.7 \times 10^{-1}$	$2.2 \times 10^0 \pm 4.5 \times 10^{-1}$	$1.7 \times 10^{-1} \pm 2.7 \times 10^{-2}$
No. 5	$9.2 \times 10^3 \pm 4.0 \times 10^1$	$2.2 \times 10^3 \pm 3.2 \times 10^1$	$2.5 \times 10^1 \pm 7.6 \times 10^0$	$5.7 \times 10^0 \pm 1.8 \times 10^0$
No. 6	$5.3 \times 10^3 \pm 1.6 \times 10^1$	$7.1 \times 10^2 \pm 1.3 \times 10^1$	$8.7 \times 10^2 \pm 1.1 \times 10^1$	$3.3 \times 10^0 \pm 2.6 \times 10^{-1}$
No. 7	$1.1 \times 10^2 \pm 6.5 \times 10^{-1}$	$3.3 \times 10^1 \pm 6.7 \times 10^{-1}$	$4.2 \times 10^0 \pm 2.8 \times 10^{-1}$	$4.1 \times 10^{-1} \pm 3.2 \times 10^{-2}$
No. 8	$3.4 \times 10^2 \pm 1.3 \times 10^0$	$8.8 \times 10^1 \pm 1.2 \times 10^0$	$2.0 \times 10^1 \pm 5.8 \times 10^{-1}$	$8.4 \times 10^{-1} \pm 7.8 \times 10^{-2}$
MH-X	$5.3 \times 10^2 \pm 8.4 \times 10^0$	$2.2 \times 10^2 \pm 8.9 \times 10^0$	$2.6 \times 10^2 \pm 7.7 \times 10^0$	$7.7 \times 10^1 \pm 5.3 \times 10^0$
MH-1	$1.1 \times 10^1 \pm 2.1 \times 10^{-1}$	$3.2 \times 10^0 \pm 2.2 \times 10^{-1}$	$2.7 \times 10^0 \pm 1.5 \times 10^{-1}$	$1.4 \times 10^{-1} \pm 1.8 \times 10^{-2}$

表1. 乾燥土砂のマンホール別核種濃度($\mu\text{Ci/g dry}$)

24~27の測定結果を基に算出してある。上記以外の人工放射性核種と MH-1, ^{115}Sb が No. 1, No. 7, MH-X, MH-1 で, ^{95}Nb が No. 1, No. 7 で認められた。

ピコベータ測定(β_1, β_2)で、自己吸収、多核種の混在等のために、充分な解析を行えずスペクトルは得られなかった。しかし、追加測定と12月、No. 1 と No. 3 によるシーウ破壊液濃度による測定では、両者から $^{90}\text{Sr}-^{90}\text{Y}$ の 2.26 MeV β 線、また No. 1 からは $^{134}\text{Cs}-^{137}\text{Cs}$ の 2.93 MeV β 線が認められた。

Ⅲ-2. No. 1 → No. 8 の沿流濃度変化

図5は、表1に基づいて No. 1 → No. 8 の一般排水路の沿流 ^{60}Co 、 ^{54}Mn 、 ^{137}Cs 及び ^{134}Cs の濃度変化を示したものであり、MH-XとMH-1を加えてある。3月8日の事故で流出した廃液は、No. 1 と No. 2 の間で一般排水路に流入し、No. 2 より順次下流のマンホールを汚染していく、たとされている。放射能の土砂への貢献は、廃液の濃度や粒度等の砂の性質に左右されるが、一般的には、下流へ行く程濃度が低下すると予想される。しかし、図5は、No. 3 で大きく減少した後、No. 4 から No. 5 まで増加し、No. 5 と No. 6 で2番目の山を示している。この傾向は、250μm の小さな分けた細砂、粗砂のいずれにも認められる。表2は、上層水のデータ(22)が得られたマンホールについての上層水・土砂間の ^{60}Co の濃度比である。マンホールにより値は異なっている。

No. 2	No. 4	No. 5	No. 6	No. 8	
$\frac{^{60}\text{Co}(\text{Y}3)}{^{60}\text{Co}(\text{Y}2)}$	(ml/g)	7700	2700	3600	870
60Co(Y3) 60Co(Y2)					

表2. ^{60}Co の水・土砂濃度比

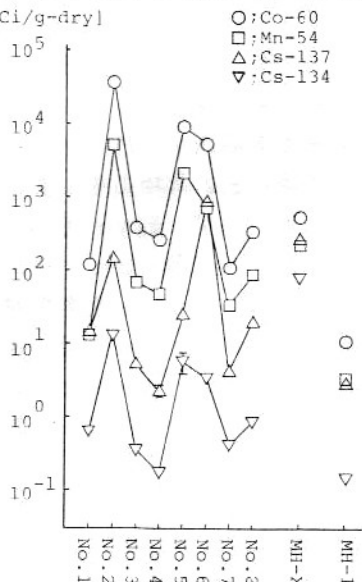


図5. 流路13沿流濃度変化

No.6がとくに放射能を取扱い易いとはいえず、他の性質がどう。No.1→No.8は、22個の山が現れる理由を説明せんない。

Ⅲ-3. 各マンホールの核種比

図5を詳しく述べると、第2の山のビードル、 ^{60}Co , ^{56}Mn , ^{114}Cs 2~12 No.5 2~3 のに対する、 ^{117}Cs 2~12 No.6 1~7, 2~13。図6は、細砂($<250\mu\text{m}$)に対する、 ^{60}Co に対する他の3核種の比を示したものである。 $^{56}\text{Mn}/^{60}\text{Co}$ 比は比較的変化が大きいのに比べ、 $^{117}\text{Cs}/^{60}\text{Co}$ 比と $^{114}\text{Cs}/^{60}\text{Co}$ 比はマンホールに対する2種の違いが見られる。 $^{117}\text{Cs}/^{60}\text{Co}$ 比が大きいのは、No.1, No.6, MH-X, MH-1であり、同様の傾向は粗砂($>250\mu\text{m}$)に対するものでも認められる。No.1, MH-X, MH-1に対する2種、3月8日の事故経路とは直接関係なく、No.2下流ではNo.6がとくに大きい。 $^{117}\text{Cs}/^{60}\text{Co}$ 比を示す。図7は、細砂に対する $^{114}\text{Cs}/^{117}\text{Cs}$ 比を示す。No.6では顕著な $^{114}\text{Cs}/^{117}\text{Cs}$ 比が小さい。この傾向は粗砂におけると同様であり、結果、No.6は ^{117}Cs 特異的に汚染された。

Ⅲ-4. MH-Xの汚染

MH-Xは、図1から明らかなように3月8日の事故では汚染された筈のないマンホールである。このマンホールはさながら屋外にあり、たまたま、1977年3月建屋増設の際に屋内へ取込まれ、その上部はドラム缶搬出跡の床に開口してあるだけである。MH-Xの汚染は、陳氣筒からのフォールアウトとは見えなかつて、 ^{114}Cs , ^{117}Cs が多めで、 $^{117}\text{Cs}/^{114}\text{Cs}$ 比が大きいことから、比較的新しく炉内で生成した放射能によると考えられる。

Ⅲ-5. 陳氣筒からのフォールアウト

表1に見られるように、MH-1やNo.1はおもに通常の核実験フォールアウトレベルを越えて汚染が認められた。MH-1は旧廃棄物処理建屋から離れており、No.1は3月8日の事故では汚染された筈がない雨水流入口のあるマンホールである。汚染核種は、核実験フォールアウトに対する ^{117}Cs が主体であるのは同じし、 ^{60}Co と ^{56}Mn が中心である。MH-1やNo.1の汚染の原因は今回の調査結果からは断定できないが、原発近辺を広汎に汚染した源として排気筒から日常的に放出される³⁾粒子状物質のフォールアウトが考えられる³⁾。

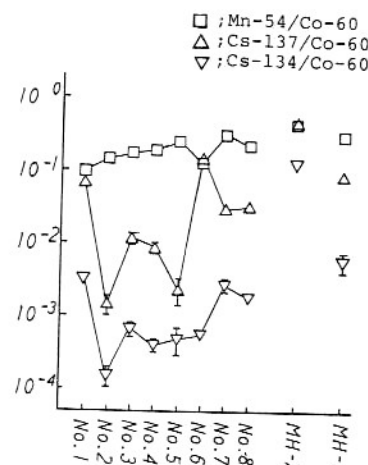


図6. 各核種の ^{60}Co に対する比
(細砂, $<250\mu\text{m}$)

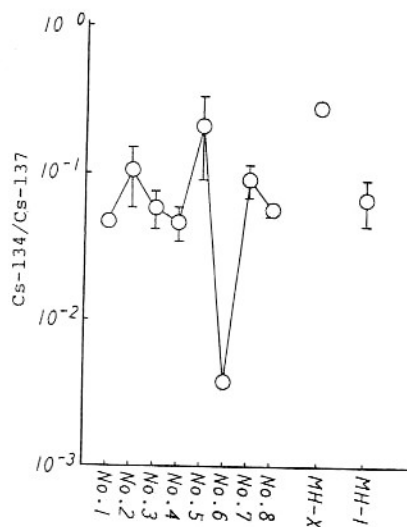


図7. $^{114}\text{Cs}/^{117}\text{Cs}$ 比
(細砂, $<250\mu\text{m}$)

IV.まとめ

今回の測定から得られた知見は、以下のようなものである。

① 旧発電機処理建屋床下を通る一般排水路においては、上流から下流へと、少くとも二箇所の放射能による汚染の山が生じている。このことは、当初から指摘されてきたようだ。No. 3, No. 4マンホールにおいて除染が行われたが、あとはNo. 5マンホールにおいて別種の汚染が存在することを示唆している。

② No. 6マンホールは、 ^{137}Cs によると異常に汚染されている。このマンホールにおける ^{134}Cs による汚染は、他のマンホールと比べて特に異常に高くなっている。 ^{137}Cs と特異的に食む別種の汚染源が存在していると考えられる。

③ MH-Xも汚染されている。MH-Xは「最終報告書」と示された事故とは無関係であるが、管理区域内に開口部を持っていたため、日常的に汚染され続けていた。

④ No. 1, MH-1もまた汚染されている。これらのマンホールも「最終報告書」と示された事故とは汚染された管は「マンホール」である。これらの汚染源は必ずしも明らかではないが、排気筒から日常的に放出される粒子状放射性物質のフォールアウトである可能性が強い。もしもそうであるとすれば、敷設原発周辺は、敷地内を中心とした管理正成・非常理正成を固めず、核実験フォールアウトに比べてかなり高い汚染を受けていると考えられる。

以上、今回の測定によると、敷設原発の一般排水路は單に一回の事故による汚染ではなく、複数の原因による複合的に汚染されたことが判明した。このことは、「最終報告書」等による認定とは矛盾している。ところが、原電および監督官庁は汚染の原因を解明しないまま、敷設原発の運転再開を強行してしまった。原発の事故に因るのは、美浜原発燃料棒折損事故⁽⁴⁾を見られようとして、多くの場合対症療法的処置しかとられず、事故を引き起こした真因は無視されてきた。そのため事故の再発を防止しきりでも、アシストする類似の事故に見舞われて来たのである。今回の汚染についても、問題の一般排水路を閉鎖したとしても、地下水は單に一つの汚染経路を塞ぐにすぎず、汚染を生んだ原因そのものが取り除かれてわけではない。何よりもまず、複合した汚染源の個々を隠することこそがオーナーの課題である筈であつたが、原電が開発の現状は、どうもつづけない。

最後に、今回の測定を実質的に担った敷設原発放射線管理課環境放射能グループに感謝します。

<参考文献>

- (1)資源エネルギー庁；「日本原子力発電(株)敷設発電所における給水加熱器及び一般排水路放射能漏洩中止について」；原子力安全委員会月報、1981年5月号
- (2)科学技術庁；「放射性セシウム分析法」；日本分析センター
- (3)小出裕章他；「敷設原発周辺の環境モニタリング結果」；KURRI-TR-188, p.20
- (4)柴田俊一他；「美浜1号炉の燃料破損に関する研究報告書」；KURRI-TR-197